

Вибрационный гироскоп - устройство, подвижное тело которого содержит быстрое вибрационные колебания (вращение, колебание) и чувствительное в силу этого к азимутальным сдвигам основания, причем организующий ин. процесс определяет доп. колебания подвижного тела, в хар-ках которого содержится инф. об азимутальном сдвиге, брасл. основания.

Актюатор - привод (1М или АС)

Сенсор - ДУ или датчик перемещения

Трансьютер - преобразователь

Характеристики ММГ

1. Нулевой сигнал - вых. сигнал АС при отсутствии азимутальных скоростей основания (стационарный)

2. Дрейф нулевого сигнала - плавное ~~или~~ ^{монотонное} изменение нулевого сигнала со временем.

3. Стабильность нулевого сигнала - чин. нулевого сигнала неизменного характера. (случайный).
(подтверждение и. сигнала - стабильность им-то-ли).

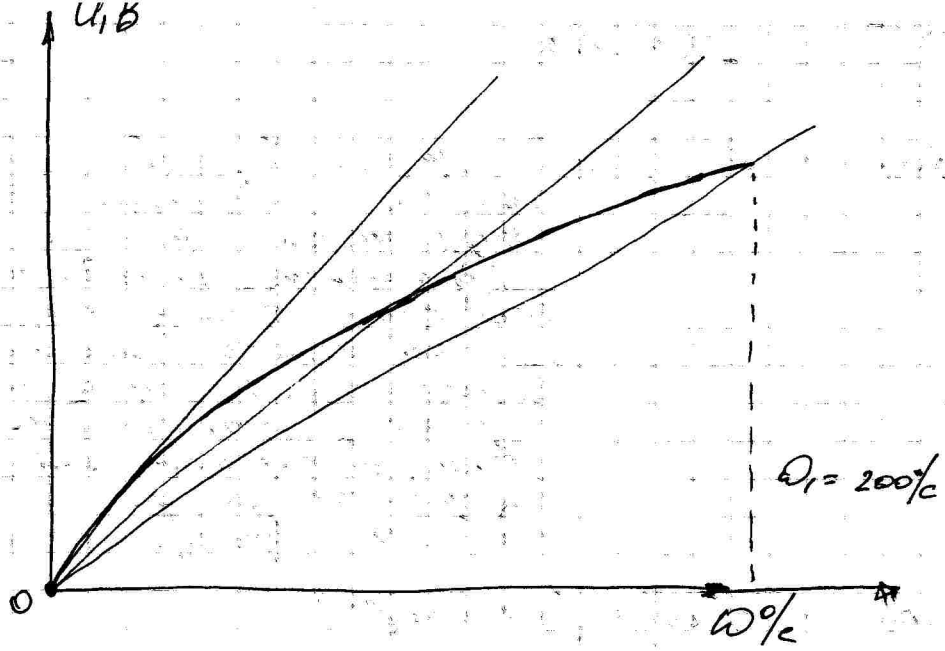
4. Порог чувствительности - мин. чин. чин. скорости основания, которую АС способен определить (не шириной).

5. Дискорд - чинерсиях скоростей - макс. чин. скорости, при которой АС способен определить чинерсиях.

6. Внешний характеристика - завис. вых. сигнала от чинерсиях чин. скорости.

7. Масштабный коэффициент - коэффициент вых. характеристики.

8. Стабильность масшт. коэффиц. - изменение масшт. коэффиц. в завис. от К-1 фазород.



9. Нелинейность дин. характеристики - масс. отклонение от лин. характеристики, отнесенное к диапазону прибора.

10. Полосе пропускания - диап. диапазоном частот, в котором усиление ул. спектра сопоставимо с характеристикой низкочастотного прибора. 396.

11. Температурный диапазон - 1. диапазон температур, при кот. АЧС должен сохранять свою характеристику (термостабильность).
2. при кот. АЧС сохраняет работоспособность. (тепл. хранения, термостойкость).

12. Перегрузка - 1. диап., при кот. АЧС сохраняет свою характеристику. (устойч. к перегрузке)
2. диап. час-ти, при кот. АЧС сохраняет работоспособность (устойч. к перегрузке, усил.)

13. Масса и габариты

Классификация ММГ:

I. Роторные виброгасители

Для применения в гидравлике не подходят, за исключением:

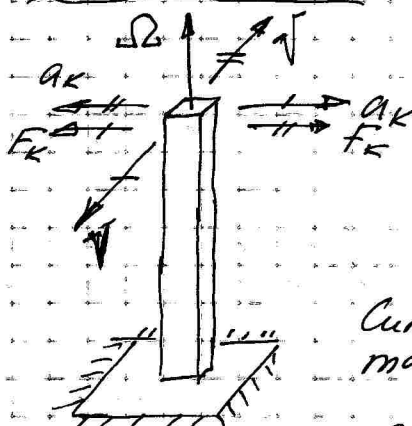
① Роторн. виброг. гироискол с собств. движателем.

Движение внутри

② Роторн. виброг. гироискол с фрикцион. демпфером

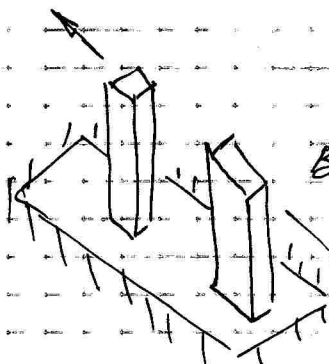
Внутри движателя
всегда бывает, а
как. может
тоже самое
также (турбина,
колесо).

Балочный ММГ



Недостаток:
близкие
дист. осно-
вания на
ЧГ и подборот.
Схема переда-
чаз.

Сила вязк. на основные
ма = $m k_0 \omega^2 =$
 $= 0,1 \cdot 10^{-3} k_2 \cdot 10^{-6} M \cdot$
 $\cdot (10^4 \text{ Гц})^2 \cdot (2\pi)^2 =$
 $= 0,4 \text{ Н} (402)$.



В прогибе



Закрепление в
узловых точках

II. Осьсенторные виброгасители

1. По форме ЧГ:

- плоские (микропласт-эл.,
стекло и кварц):

• L-L типа

• R-R типа

• L-R или R-L типа

• Колцедые гироисколы

- объемные ВГ:

• камертонные

• балочные

• ТВГ ("рюмка")

2. По конструкции ЧГ:

- в виде замкнутой оболочки

• ТВГ

• колбусовой

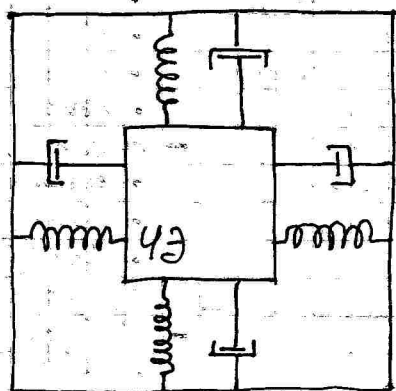
- в виде несбалансированного
осциллятора

• балочный

- в виде сбалансированного
осциллятора

• камертонный

Любое ВГ имеет изолированное тело (43) с как минимум 2-мя степ. свободы. Одна ось - продольная, воздуходувка, первичн. колеб. - ось задания колеб.; Вторая - выходная, свема, вторичных колеб. - ось свема сигнала.

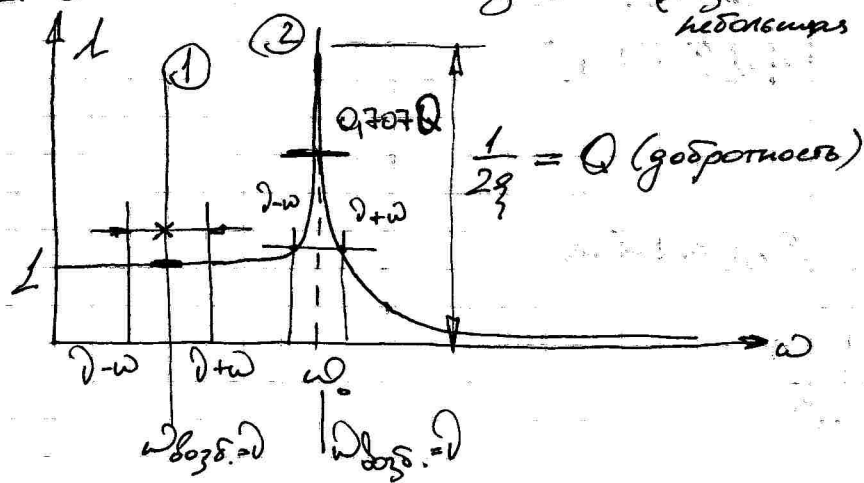


Очень сильное влияние колеб. одной оси на другую, резонансные колеб. по одной оси.

По оси продольн. колебание всегда в фазоне с чекой одеснеч. макс. чувств. гиростата со след. системой стабилизации.

По оси свема:

1. С несбалансующими фазонами. чекогалки по оси прод. и свема (стабилиз., низк. чувств., большая гл.).
2. С супр. или близкими (низк. стабилиз., выс. чувств., недостаточн гл.).

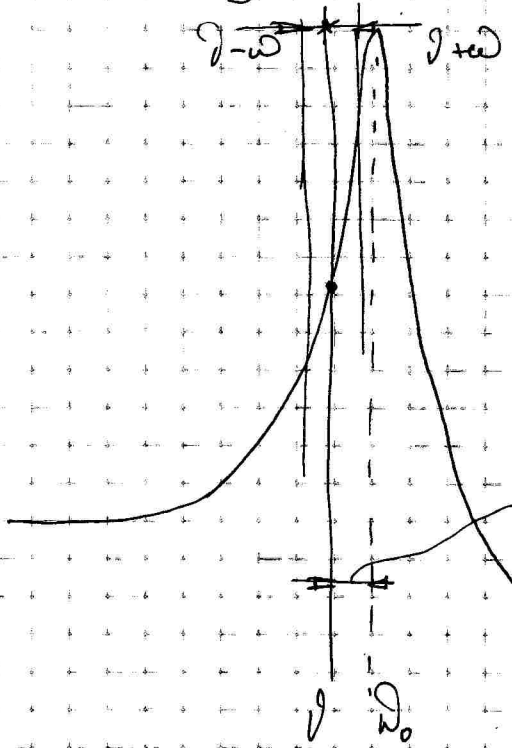


$$\Omega = \Omega_0 \sin \omega t, \quad \omega - \text{частота свема}$$

$$M^r = H \Omega \sin \Omega t, \quad \Omega - \text{частота колеб. доз.}$$

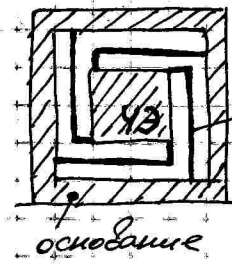
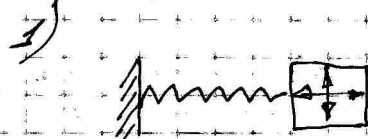
$$M^r = H \Omega_0 \sin \Omega t \sin \omega t = \frac{1}{2} A_1 \sin [(\Omega + \omega)t] + \frac{1}{2} A \sin [(\Omega - \omega)t]$$

С близкими частотами:



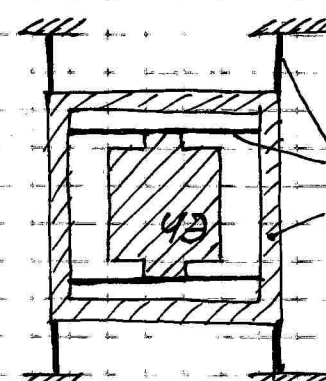
по сдвигам формулы частот ω_0 и ω

При уменьшении единичной близким частот!



горизонт

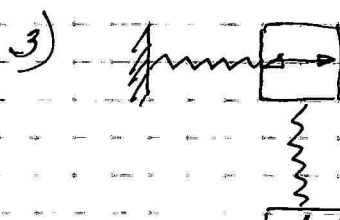
основание



горизонт

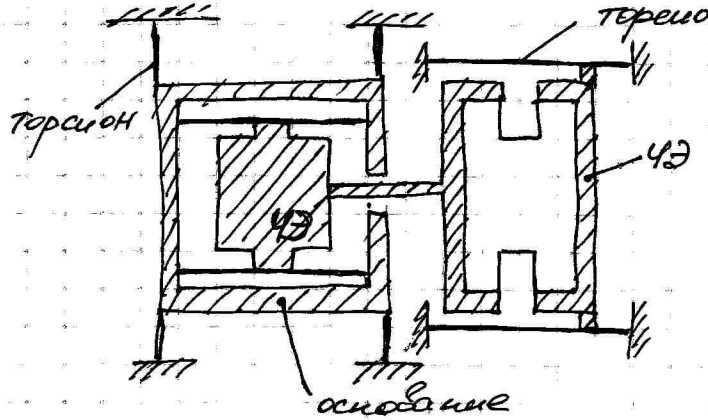
основание

Зем относительно
рамки.



Не параллельно





Типы воздействий:

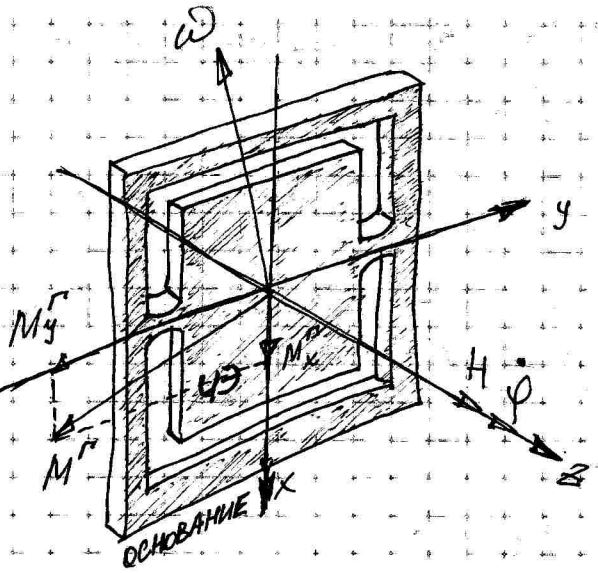
- электростатический
- электромагнитный
- пьезоэлектрический
- магнитоэлектрический
- тепловой

Типы измерения сигнала:

- емкостной
- пьезоэлектрический, пьезорезистивный
- магнитоэлектрический

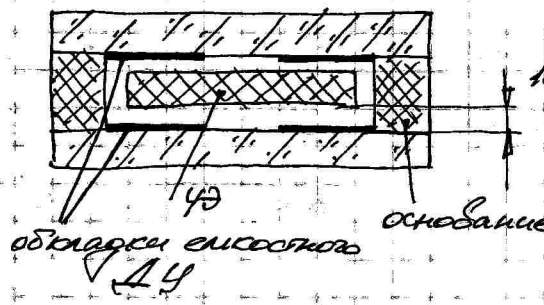
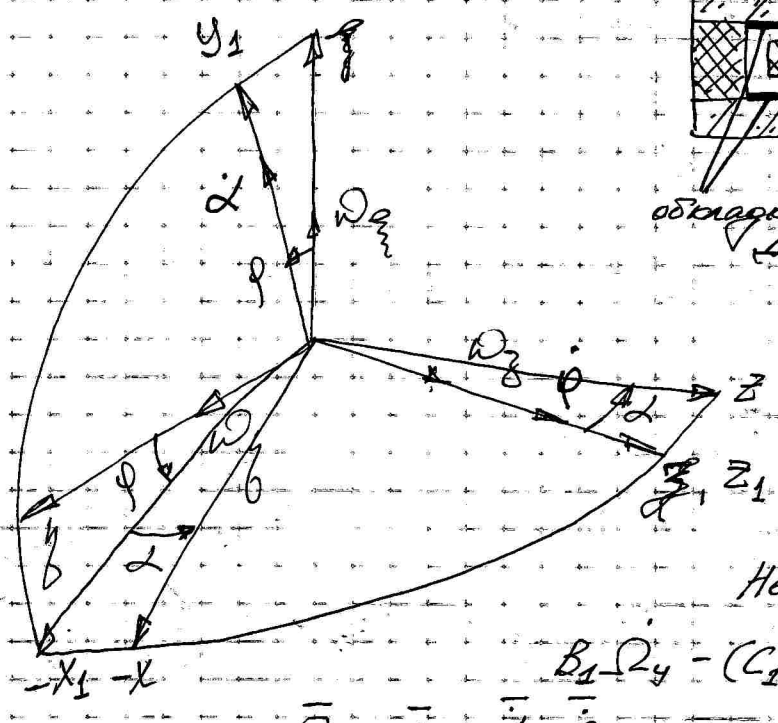
| Параметры | Размер- носцы | широкопр. | тактические приборы | инерциаль- ные приборы |
|-----------------------|------------------|----------------------|------------------------|---------------------------|
| 1. Стат. дрейф | % 0/4 | 0,003..1 10..3600 | 0,1..10 | <901 |
| 2. Стад. НК | % | 0,1..1 | 0,01..0,1 | 0,001 |
| 3. Макс. дигит. | % | 50..1000 | 500 | 400 |
| 4. Удар, 1 мс | ег. г | 10^3 | $10^3..10^4$ | 10^3 |
| 5. Полоса пропускания | Гц | 70 | 100 | 100 |

Роторний вібраційний експеримент



$\dot{\varphi}$ - швидкість обертання
(напівперіод)

$$M_y^r = H \omega \cos \varphi = H \omega \cos \frac{\pi}{2} t, \\ M_x^r = H \omega \sin \varphi = H \omega \sin \frac{\pi}{2} t$$



10.5D x KM

$$\bar{\omega} = (\omega_x, \omega_y, \omega_z) \\ A_1, B_1, C_1 - площини поверхні по осм x_1, y_1, z_1$$

Необхідн. уп-с Експр.

$$B_1 \Omega_y - (C_1 - A_1) \Omega_x \Omega_z = M_y^{BH}$$

$$\bar{\Omega} = \bar{\omega} + \bar{\alpha} + \dot{\varphi}$$

$$\Omega_x = -(\dot{\varphi} + \dot{\omega}_z) \sin \varphi - (\omega_z \cos \varphi - \omega_y \sin \varphi) \cos \varphi$$

$$\Omega_y = \dot{\varphi} + \omega_z \cos \varphi + \omega_y \sin \varphi$$

$$\Omega_z = (\dot{\varphi} + \omega_z) \cos \varphi - (\omega_z \cos \varphi - \omega_y \sin \varphi) \sin \varphi$$

Считаем угол φ малым, $\dot{\varphi} \gg \omega_z, \omega_y, \omega_x$

$$\Omega_x = -\dot{\varphi} \sin \varphi - \omega_y \cos \varphi + \omega_z \sin \varphi$$

$$\Omega_y = \dot{\varphi} + \omega_z \cos \varphi + \omega_y \sin \varphi; \quad \Omega_z = \dot{\varphi} + \omega_z \cos \varphi - \omega_y \sin \varphi +$$

$$\omega_x \sin \varphi + \omega_y \cos \varphi + \omega_z \dot{\varphi} \cos \varphi$$

$$M_y^{BH} = -D_d \dot{\varphi} - K_d \varphi + M_y^{BP}$$

$$B_1 \ddot{\varphi} + D_d \dot{\varphi} + [K_d + (C_1 - A_1) \dot{\varphi}^2] \varphi = -B_1 [\omega_x^2 \cos \varphi + \omega_y^2 \sin \varphi] + \\ + [\omega_x^2 \sin \varphi - \omega_y^2 \cos \varphi] (C_1 - A_1 + B_1) \dot{\varphi} + M_y^{BP}$$

Суммарный момент упругости содержит неоднородный момент $(C_1 - A_1) \dot{\varphi}^2 \varphi$, пропорциональный квадрату.

$B_1 [\omega_x^2 \cos \varphi + \omega_y^2 \sin \varphi]$ - инерционный момент переносного движения.

$C_1 \dot{\varphi} [\omega_x^2 \sin \varphi - \omega_y^2 \cos \varphi]$ - инерционный момент.

$B_1 [\omega_x^2 \sin \varphi - \omega_y^2 \cos \varphi]$ - инерц. момента.

$A_1 [\omega_x^2 \sin \varphi - \omega_y^2 \cos \varphi]$ - гидродин. момента.

Рассмотрим один. в нач. скорости.

Обозначим $(C_1 - A_1 + B_1) \dot{\varphi} = H$

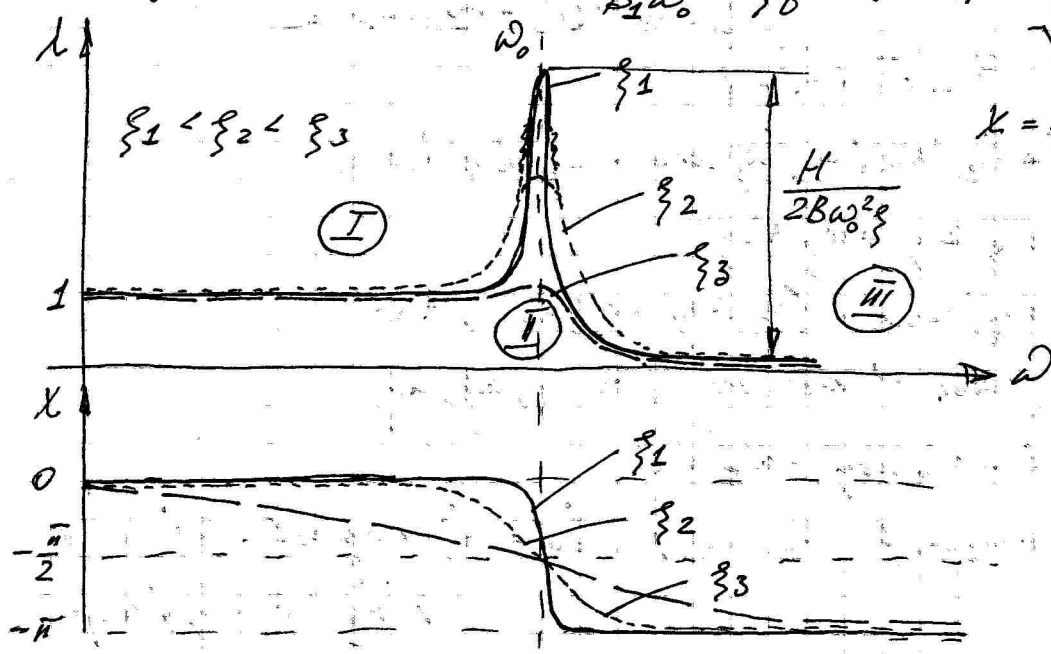
$$[D_d \ddot{\varphi} + (C_1 - A_1) \dot{\varphi}^2] = K.$$

$$B_1 \ddot{\varphi} + D_d \dot{\varphi} + K \varphi = H \omega_{xy} \sin(\varphi t + \delta), \quad \text{где } \omega_{xy} = \sqrt{\omega_x^2 + \omega_y^2}, \\ \delta = \arctg \frac{\omega_y}{\omega_x}$$

Будем считать, что $\delta = 0$, $\omega_{xy} = \omega_x$.

$$\ddot{\varphi} + 2\xi \omega_0 \dot{\varphi} + \omega_0^2 \varphi = \frac{H}{B_1} \omega_{xy} \sin(\varphi t), \quad \text{где } \omega_0 = \sqrt{\frac{K}{B_1}} = \frac{D_d}{2\sqrt{KB_1}}$$

$$\text{В ус. дин.: } \ddot{\varphi}_{sys} = \frac{Hh}{B_1 \omega_0^2} \omega_{xy} \sin(\varphi t + \delta), \quad h = \frac{1}{\sqrt{\left(1 - \frac{\dot{\varphi}^2}{\omega_0^2}\right)^2 + \left(\frac{2\varphi \dot{\varphi}}{\omega_0^2}\right)^2}}$$



$$\xi = \arctg \left[\frac{2\varphi \dot{\varphi}}{\left(1 - \frac{\dot{\varphi}^2}{\omega_0^2}\right)} \right]$$

II Резонанс ресона.

$$\lambda = \frac{1}{2\zeta}, \chi = -\frac{\pi}{2}$$

$$x_{\text{рез}} = -\frac{H}{2\zeta B_1 \omega_0^2} \omega_{3y}^2 \cos(\phi t) = \frac{H \omega_{3y}}{\sqrt{(K - B_1 \dot{\phi})^2 + (D_2 \dot{\phi})^2}} \sin(\phi t - \arctg \left(\frac{D_2 \dot{\phi}}{K - B_1 \dot{\phi}} \right))$$

$$x_{\text{рез}} = \frac{H \omega_{3y}}{\sqrt{(K_2 + (C_1 - A_1 - B_1) \dot{\phi}^2)^2 + (D_2 \dot{\phi})^2}}$$

$$B \text{ резонанс } \dot{\phi} = \sqrt{\frac{K}{B_1}} = \sqrt{\frac{K_2 + (C_1 - A_1 - B_1) \dot{\phi}^2}{B_1}}$$

$$B_1 \dot{\phi}^2 = K_2 + (C_1 - A_1) \dot{\phi}^2$$

$$K_2 = (C_1 + A_1 + B_1) \dot{\phi}^2 - \text{условие резонансной настройки}$$

"Приезжает" ищет устойчивое и неустойчивое сопротивление

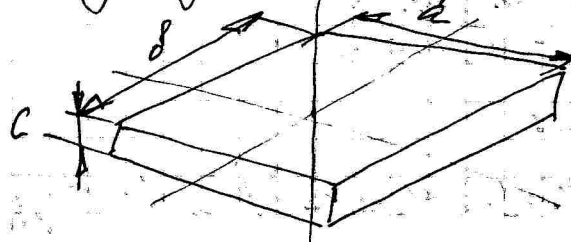
для $\dot{\phi} = H \omega_{3y}$ работает только устойчивый момент

$$x_{\text{рез}} = \frac{(C_1 - A_1 + B_1) \dot{\phi} \omega_{3y}}{D_2 \dot{\phi}}$$

Не нужно обеспечивать стабильность $\dot{\phi}$

но одновременно обеспечить это необходимо.

Можно сделать еще более неустойчивое. Тогда условие настройки $C_1 = A_1 + B_1$.



$$A_1 = \frac{m}{12} (c^2 + \delta^2)$$

$$B_1 = \frac{m}{12} (a^2 + c^2)$$

$$C_1 = \frac{m}{12} (a^2 + \delta^2)$$

$$C_1 - A_1 - B_1 = \frac{m}{12} (-2c^2) = -\frac{mc^2}{6}$$

т.е. получено, что если $c = 0$ (???) $0 - 0$

I Дифференциал. физик

$$\text{анал.} \quad L_{\text{уст}} = \frac{H\omega_3 y}{K_x}$$

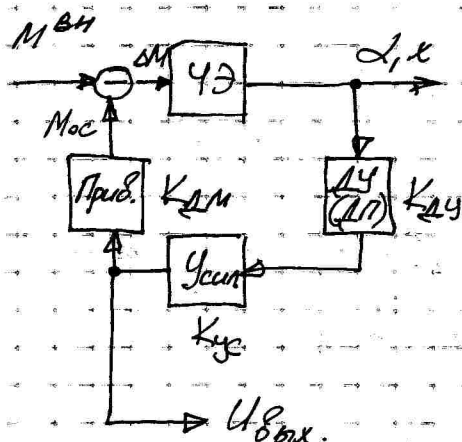
$K_{\text{дифф}} = H\omega_3 y$. Работает только дифф. момент.

$L_{\text{уст}} = \frac{(C_1 - A_1 + B_1)\omega_3 y \dot{\phi}}{K_x}$. Необходима стабильная $\dot{\phi}$ или информация о масштаб-ф.

Для неупругого подвеса $K_x = 0$:

$L_{\text{уст}} = \frac{(C_1 - A_1 + B_1)\omega_3 y}{(C_1 - A_1)\dot{\phi}}$. Обратная зависимость от $\dot{\phi}$

Введение обратной связи



Весь дифр. момент должен компенсироваться только мом. обр. сбз.

Т.е. мом. обр. сбз. в. б.
на пару горючих должны оставаться.

Состр. уравн.

Организация обр. сбз.

$$B_1 \ddot{x} + D_1 \dot{x} + [K_x + (C_1 - A_1) \dot{\phi}^2] x = H\omega_3 y \sin(\dot{\phi} t) - M_{\text{об}}$$

$M_{\text{об}} \sim \dot{x}, \dot{x}$ - позиц. DC

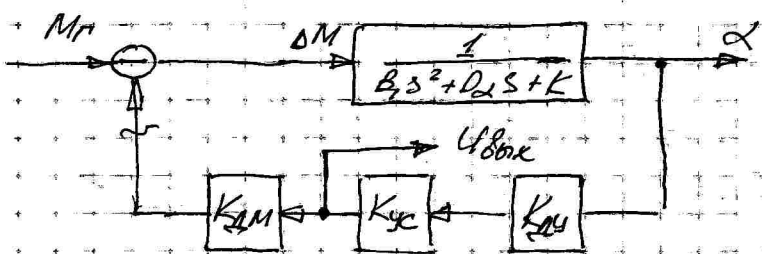
$M_{\text{об}} \sim \dot{x}, \dot{x}$ - скорость DC

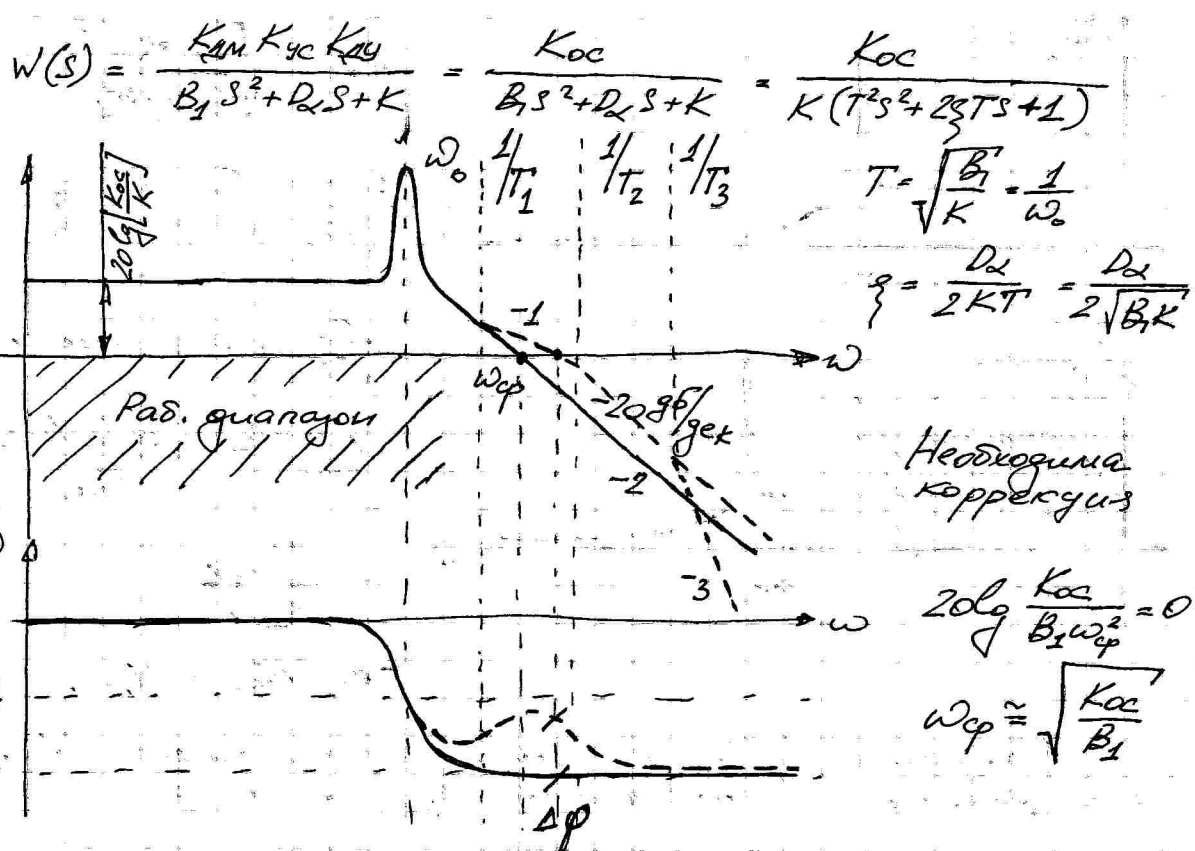
1 Позиц. DC:

$$B_1 \ddot{x} + D_1 \dot{x} + [K_x + (C_1 - A_1) \dot{\phi}^2] x = H\omega_3 y \sin(\dot{\phi} t) - K_{\text{ос}} x$$

$$B_1 s^2 x + D_1 s x + K x = \Delta M(s)$$

$$\frac{x(s)}{\Delta M(s)} = \frac{1}{B_1 s^2 + D_1 s + K}$$





$$W_{K3} = \frac{1+T_3s}{1+T_2s} \cdot \frac{1}{1+T_3s}$$

$$\Phi(s) = \frac{W(s)}{1+W(s)} = \frac{M_{oc}(s)}{M_r(s)} = \frac{K_{oc}}{B_1 s^2 + D_2 s + K} \cdot \frac{\frac{1+T_3s}{1+T_2s} \cdot \frac{1}{1+T_3s}}{1 + (B_1 s^2 + D_2 s + K)(1+T_2s)(1+T_3s)} =$$

$$= \frac{K_{oc}(1+T_3s)}{(B_1 s^2 + D_2 s + K)(1+T_2s)(1+T_3s) + K_{oc}(1+T_3s)}$$

Пренебр. T_1s, T_2s, T_3s

$$\Phi(s) = \frac{K_{oc}}{B_1 s^2 + D_2 s + K + K_{oc}}$$

$$\Phi^*(s) = \frac{U_{0max}(s)}{M_r(s)} = \frac{\Phi(s)}{K_{am}}$$

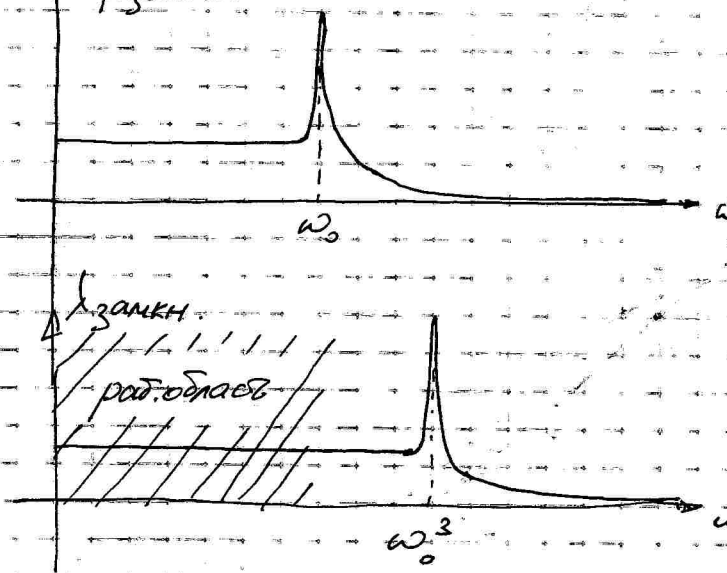
$$U_{0max} = |\Phi^*(s)| \cdot \text{H} \omega_0 \sin(\phi t + \arg(\Phi^*(s)))$$

$$U_{0max}^{\text{aum.}} = \frac{K_{ay} K_{yc} H \omega_0 s_y}{\sqrt{(K + K_{oc} - B_1 \dot{\phi}^2)^2 + (D_2 \dot{\phi})^2}}$$

Из замкн. системы $\omega_0^3 = \sqrt{\frac{K + K_{oc}}{B_1}}$, а при $K_{oc} \gg K$

$$\omega_0^3 = \sqrt{\frac{K_{oc}}{B_1}} \text{ с. ф. фаза-1 на } 2\pi \text{ часotta спектра.}$$

共振.



$$\dot{\varphi} = \omega_0^3 = \sqrt{\frac{K_0 + K_{OC}}{-C_1 + A_1 + B_1}}$$

Сигнал ОС проходит, если настроить
о резонансе

Для добротности.
области:

$$U_{out} = \frac{H\omega_0}{K_{oc}} = \frac{K_{oc}}{K_{oc}}$$

$$\omega = \frac{H\omega_0}{K_{oc}}$$

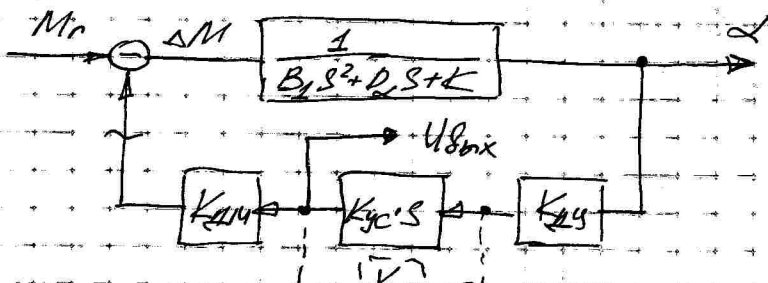
$$\text{т.е. } M_{oc} = M_p.$$

Вых. сигнал зависит только от стабильности K_{oc}
и не зависит от стабильности K_{dg} , K_{oc} и т.д.

Зона нечувствительности определяется упругостью K , поэтому
нужно уменьшить K до упора, пока держатели не перейдут в зону.

Вариант работы на ω_0 предпочтительнее поскольку
в этом случае сквозь все, кроме резонатора, проходит
т.е. вероятность заработка ОС выше (зона нечувствительности).

2 Стабилизация ОС.

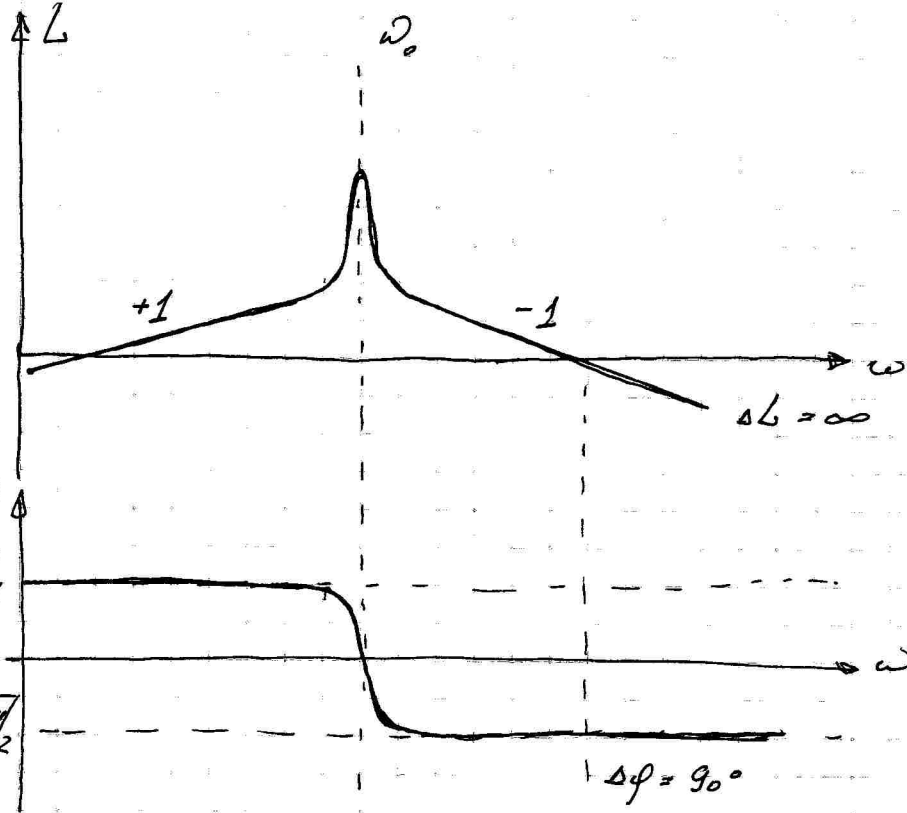


$$B_1 \ddot{s} + D_1 \dot{s} + K_1 + (C - A) \dot{s}^2 \ddot{s} = H_{out} \sin \omega t - K_{oc} \dot{s}$$

Согласим. гор. дин. ф. можно.

$$W(s) = \frac{K_{oc} s}{B_1 s^2 + D_1 s + K}$$

$$\omega_0 = \sqrt{\frac{K}{B_1}}$$

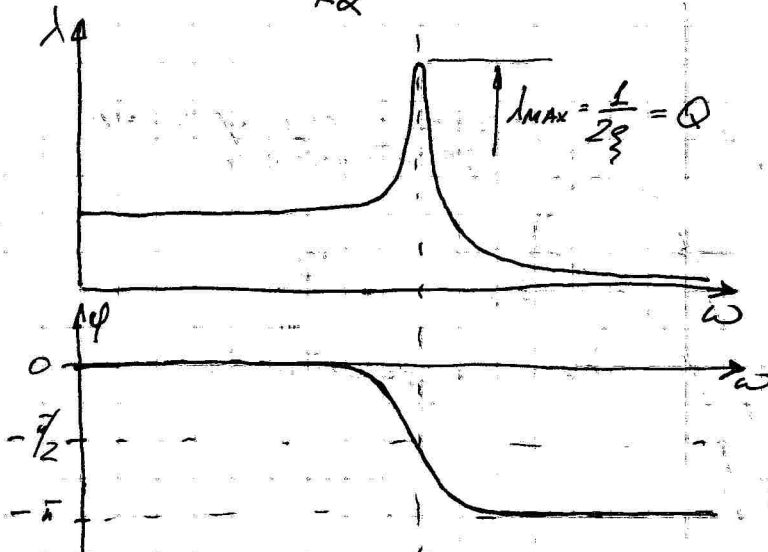


Получил чистой дифференциатор передаточно, поэтому блеск δ получается $-\frac{T_2+1}{T_1}$

$$\ddot{x} = \frac{M_0}{J} \frac{1}{(\omega_{0B}^2 - \omega^2)^2 + (2\zeta\omega_{0B}\omega)^2} \sin \left[\omega t + \arctan \left(\frac{2\zeta\omega_{0B}\omega}{\omega_{0B}^2 - \omega^2} \right) \right]$$

$$= \frac{\ddot{x}}{\omega_{0B}^2}$$

$$x_{\text{ann.}} = \frac{M_0 \ddot{x}}{K_d}$$



Для обеспеч.

стабильности конд.
недл. одескеническое
стабилизация
 $M_0, Q, \omega \approx \omega_{0B}$

При этом в таком
результате видя
возбужд. можно не
использоваться.

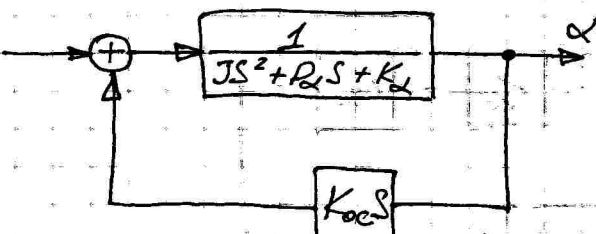
Как вариант, можно
исп-ть фазовую пер-
систену частоты,
но недл. стабилиз.
амплитуду помехами N_0 .

2 Метод автостабилизации

Недл. сделает систему неустойчивой на частоте
резонанса:

- 1) OC по положению
- 2) OC по скорости.

По скорости:



$$K_{oc} = K_{xy} \cdot K_{yc} \cdot K_{ym}$$

$$\Phi(s) = \frac{1}{JS^2 + D_d s + K_d} = \frac{1}{1 - \frac{K_{oc}}{JS^2 + D_d s + K_d}}$$

$$JS^2 + (D_d - K_{oc})s + K_d$$

$$\text{Хар-е упр.: } JS^2 + (D_d - K_{oc})s + K_d = 0.$$

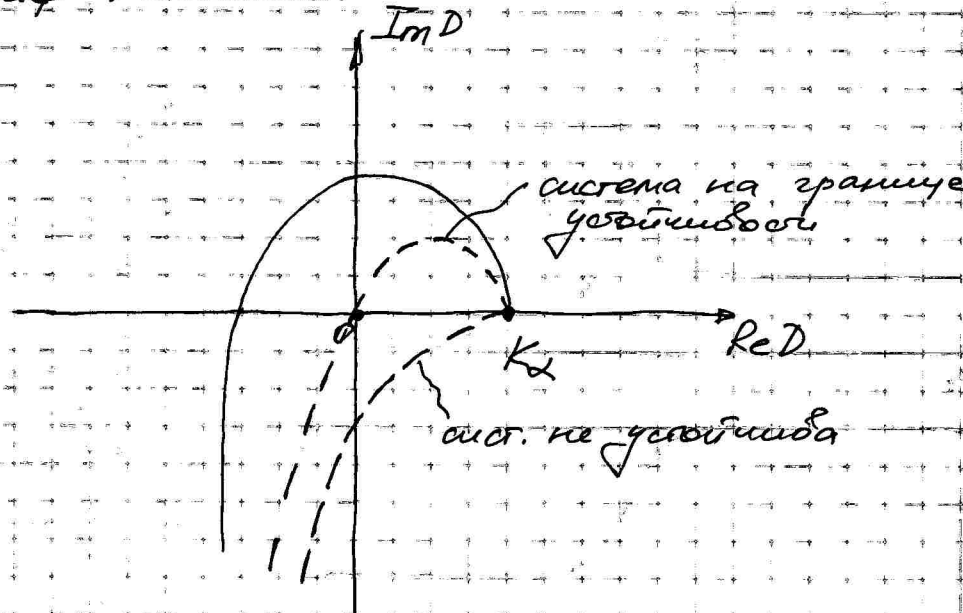
Но Гурдину система устойчива, если $D_x > K_{oc}$.

Если $D_x = K_{oc}$, то возникнут автокошания с неизуменчивой амплитудой, но сами могут не обрываться.

Если $D_x < K_{oc}$, то возникнут колеб. с возрастающей амплитудой.

$$D(j\omega) = K_x - j\omega^2 + j(D_x - K_{oc})\omega$$

Родограф Михайлова:



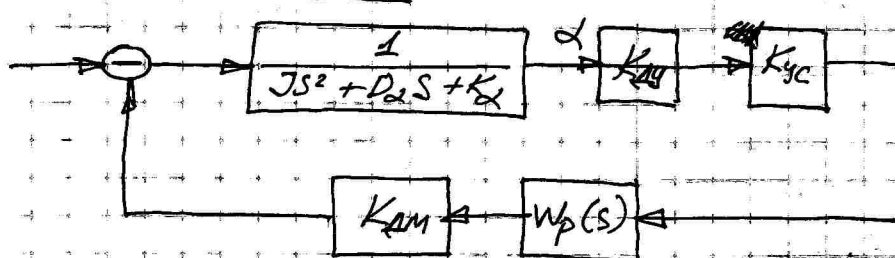
На границе устойчивости:

$$\text{Im } D = 0 \Rightarrow D_x - K_{oc} = 0, D_x = K_{oc}$$

$$\text{Re } D = 0 \Rightarrow \omega = \sqrt{\frac{K_x}{J}} - \text{погрэз } \cancel{\text{устойчивости}} \text{ на резонансной частоте.}$$

Реально делают D_x чуть меньше K_{oc} , получают расходящееся колебание и в ОС образует стационарный звуковой ограничивающий амплитуду.

По положению:



$$W_p(s) = \frac{1}{T_1 s + 1} \cdot \frac{1}{T_2 s + 1}$$

$$P(s) = \frac{\frac{1}{JS^2 + D_2 s + K_2}}{1 + \frac{K_2 K_{OC} K_M}{(JS^2 + R_1 s + K_1)(T_1 s + 1)(T_2 s + 1)}} =$$

$$= \frac{(T_1 s + 1)(T_2 s + 1)}{(JS^2 + D_2 s + K_2)(T_1 s + 1)(T_2 s + 1) + K_{OC}}$$

Кап-е гр-е: $K_2 \int [T^2 s^2 + 2\zeta T s + 1] (T_1 s + 1)(T_2 s + 1) + K_{OC} = 0.$

$$T = \sqrt{\frac{J}{K_2}} = \frac{1}{\omega_{0B}}, \quad \zeta = \frac{D_2}{2K_2 T} = \frac{D_2}{2\sqrt{K_2 J}}$$

Возьмем $K = \frac{K_{OC}}{K_2}.$

$$(T^2 s^2 + 2\zeta T s + 1)(T_1 s + 1)(T_2 s + 1) + K = 0.$$

$$T^2 T_1 T_2 s^4 + 2\zeta T T_1 T_2 s^3 + T_1 T_2 s^2 + T^2 s^2 + 2\zeta T s + 1 + T^2 (T_1 + T_2) s^3 + 2\zeta T (T_1 + T_2) s^2 + (T_1 + T_2) s + K.$$

$$D(j\omega) = T^2 T_1 T_2 \omega^4 - [T_1 T_2 + T^2 + 2\zeta T (T_1 + T_2)] \omega^2 + K + 1 + j[-2\zeta T T_1 T_2 + T^2 (T_1 + T_2)] \omega^3 + [2\zeta T + T_1 + T_2] \omega$$

На границе устойчивости:

$$T^2 T_1 T_2 \omega^4 - [T_1 T_2 + T^2 + 2\zeta T (T_1 + T_2)] \omega^2 + K + 1 = 0$$

$$- [2\zeta T T_1 T_2 + T^2 (T_1 + T_2)] \omega^3 + [2\zeta T + T_1 + T_2] \omega = 0.$$

Пусть $T_2 = 0$ (одно апериодич. звено):

$$-T^2 \omega^2 - 2\zeta T T_1 \omega^2 + 1 + K = 0 \quad | \quad (2\zeta T + T_1) \omega - T^2 T_1 \omega^3 = 0.$$

При $T_1 = 0$ (беседук без апериодич. звена) при $\zeta > 0$ обеспечение неустойчивости невозможно.

При малых ζ : $\omega = \frac{T}{T^2}$:

$$\frac{T_1 T_2}{T^2} - \frac{T_1 T_2}{T^2} - 1 - 2\zeta \frac{T_1 + T_2}{T} + 1 + K = 0$$

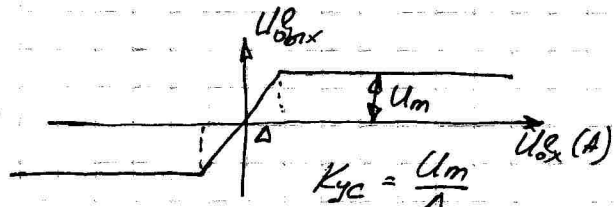
$$2\zeta + \frac{T_1 + T_2}{T^2} - 2\zeta \frac{T_1 T_2}{T^2} - \frac{T_1 + T_2}{T} = 0$$

$$\boxed{K = 2\zeta \frac{T_1 + T_2}{T^2}}$$

Условия нахождения систем на границе устойчивости.

$$\text{При } T_1 = T_2 = T, K = 4\zeta$$

Огранич. амплитуду можно наклон. элементов, например, усилителя.



$$K_{yc} = \frac{6m}{D}, \quad A < 0$$

$$K_3 = K_{yc} \frac{2}{\pi} \left[\arcsin\left(\frac{A}{A}\right) - \frac{A}{A} \sqrt{1 - \frac{A^2}{A^2}} \right], \quad A > 0.$$

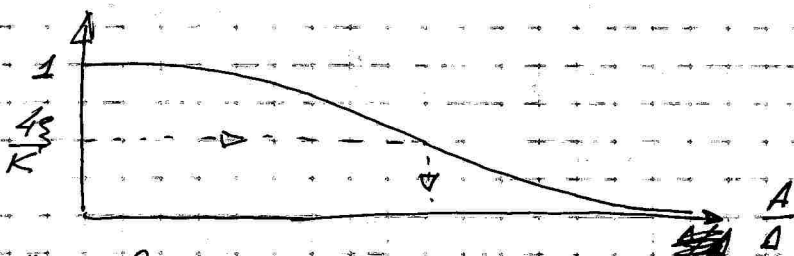
$$R = \frac{(K_1 K_2) K_m}{K_2} = K_1 \cdot K_2 \\ = K_1$$

$$K_1 K_2 = [T_1 T_2 + T^2 + 2\xi T(T_1 + T_2)] \omega^2 - T^2 T_1 T_2 \omega^4 - 1.$$

$$\omega^2 = \frac{2sT + T_1 + T_2}{2\xi T_1 T_2 T + T^2(T_1 + T_2)}$$

$$\text{При } \omega = \frac{1}{T} \text{ и } T_1 = T_2 = T: \quad K_1 K_2 = 4\xi, \quad K_2 = \frac{4\xi}{K_1}$$

$$\frac{2}{\pi} \left[\arcsin\left(\frac{A}{A}\right) - \frac{A}{A} \sqrt{1 - \frac{A^2}{A^2}} \right] = \frac{4\xi}{K}$$



На убелич. амплитуды

$$K_1, \quad Q = \frac{1}{2\xi} \neq 1$$

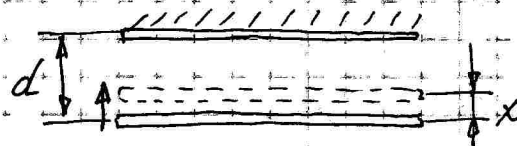
Емкостные гашения уча

$$C = \frac{\epsilon_0 S}{d} \quad \epsilon_0 = 8.85 \cdot 10^{-12} \frac{F}{mm}$$

гns ѿзруха.

S - плошага пересечения обкладок
d - залер

1) Уменьшение залера



$$\Delta C = \epsilon_0 S \left(\frac{1}{d} - \frac{1}{d-x} \right) = \frac{\epsilon_0 S x}{d(d-x)} =$$

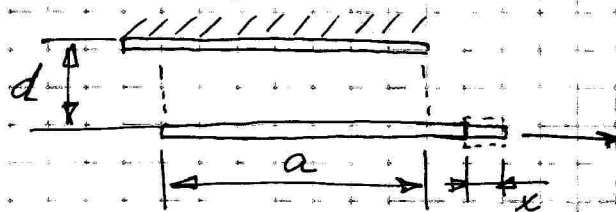
$C_1 \frac{x}{d-x}$ - при уменьшении залера

Обычно $d \gg x$

$$\text{Поэтому } C \approx C_1 \frac{x}{d}$$

Но итако ўчындах келиненное при d , созарем x .

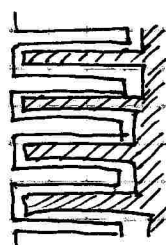
2) Уменьшение плошаги



$$C = \frac{\epsilon_0 a l}{d}$$

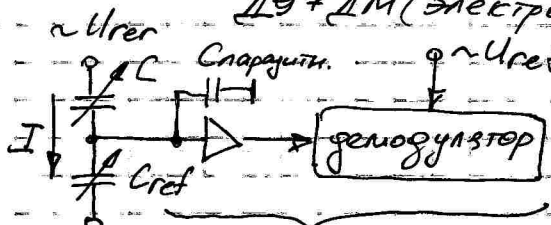
$$\Delta C = \frac{\epsilon_0 a x}{d} = \frac{C_x}{a}$$

Нукас чубсайтлендиси, балесиаң келиненсе.



Логомикала:

1. Простота конструкции
2. Хорошая чувствительность (она - си сложнодобро)
3. Хорошая тепл. стабильность
4. Возможность симметрич. межплатовых L_C или $L_C + LM$ (электростатик.)



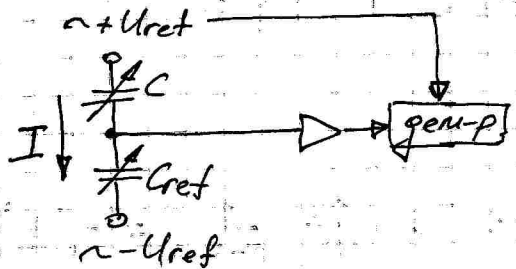
$$I = \frac{U_{ref}}{\frac{1}{j\omega C} + \frac{1}{j\omega C_{ref}}}$$

$$U_{ref} = I \frac{1}{j\omega C_{ref}} = \frac{U_{ref} \cdot C}{C_{ref} + C}$$

Недохажимо $C_{ref} > C$.

$$U_{\text{objx}} \approx \frac{U_{\text{ref}} \cdot C}{C_{\text{ref}}} \cdot C \quad \left\{ \begin{array}{l} U_{\text{objx}} = \frac{U_{\text{ref}}}{C_{\text{ref}}} C + \frac{U_{\text{ref}}}{C_{\text{ref}}} \Delta C \\ C = C_0 + \Delta C \end{array} \right.$$

они же
члены 14.



$$I = \frac{2U_{\text{ref}}}{\frac{1}{j\omega C} + \frac{1}{j\omega C_{\text{ref}}}}$$

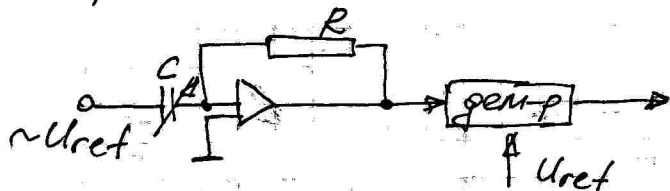
$$U_{\text{objx}} = U_{\text{ref}} - \frac{j\omega C}{j\omega C_{\text{ref}}}$$

$$U_{\text{objx}} = U_{\text{ref}} - \frac{2U_{\text{ref}} C_{\text{ref}}}{C + C_{\text{ref}}} =$$

$$= \frac{U_{\text{ref}} C - U_{\text{ref}} C_{\text{ref}}}{C + C_{\text{ref}}} =$$

$$= \frac{U_{\text{ref}} C}{C + C_{\text{ref}}} - \frac{U_{\text{ref}} C_{\text{ref}}}{C + C_{\text{ref}}}$$

При $C \ll C_{\text{ref}}$ $U_{\text{objx}} = \frac{U_{\text{ref}} C}{C_{\text{ref}}} - U_{\text{ref}}$

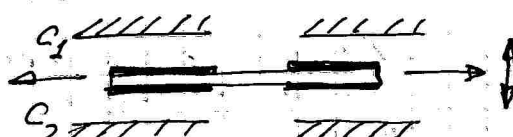


$$U_{\text{objx}} = U_{\text{ref}} - \frac{R}{\frac{1}{j\omega C}} = U_{\text{ref}} R j\omega C = U_{\text{ref}} R j\omega (C_0 + \Delta C).$$

Схема усиления сигнала - блоки $R - C_{\text{ref}}$.

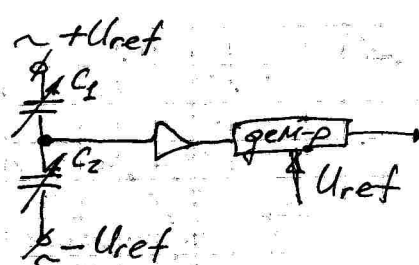
$$U_{\text{objx}} = U_{\text{ref}} \frac{\frac{1}{j\omega C_{\text{ref}}}}{\frac{1}{j\omega C_{\text{ref}}}} = U_{\text{ref}} \frac{C}{C_{\text{ref}}}$$

Измерение гармоник y_m :

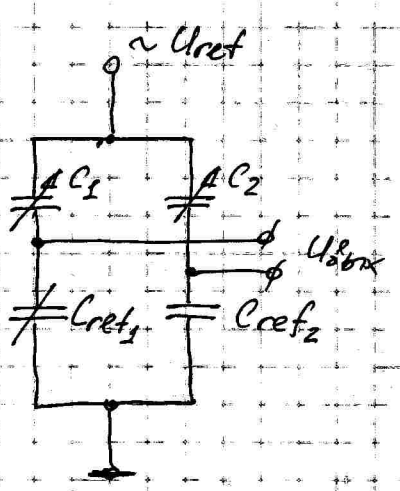


$$C_1 = C_0 + \Delta C$$

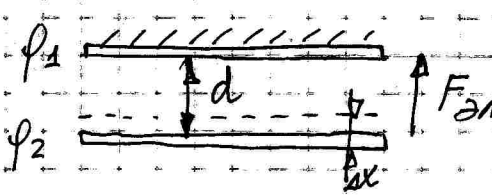
$$C_2 = C_0 - \Delta C$$



Можно также обесечь фазовую синхронизацию.



Датчики усилий

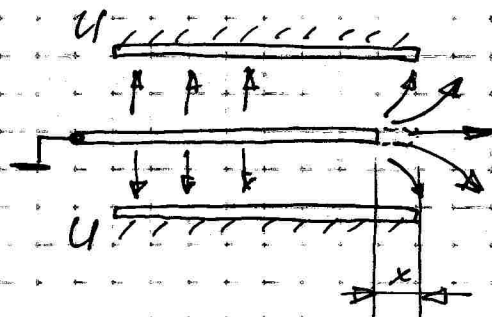


$$F_{21} = \frac{\partial E}{\partial x}; E = \frac{1}{2} c U^2; U = p_1 - p_2$$

$$E = \frac{1}{2} U^2 \frac{\partial c}{\partial x}$$

$$c = \frac{2S}{d-x}$$

$$F_{21} = \frac{1}{2} U^2 \frac{ES^2}{(d-x)^2}$$



$$c = \frac{El(a+x)}{d}$$

$$F_{21} = \frac{1}{2} U^2 \frac{El}{d}$$

Особенности:

- F_{21} всегда сила пружинная. Поэтому с пом-ко 2-х обкладок создает AC неизв.
- Нужны 2 кернод. обкладки.



- F_{21} зависит от U^2 . Необходима гашение изв.

$$U = U_0 \sin(\omega t)$$

$$F_{21} \sim U_0^2 \sin^2(\omega t) \sim U_0^2 \left(\frac{1}{2} + \frac{1}{2} \cos(2\omega t) \right)$$

const $\frac{1}{2} \omega$

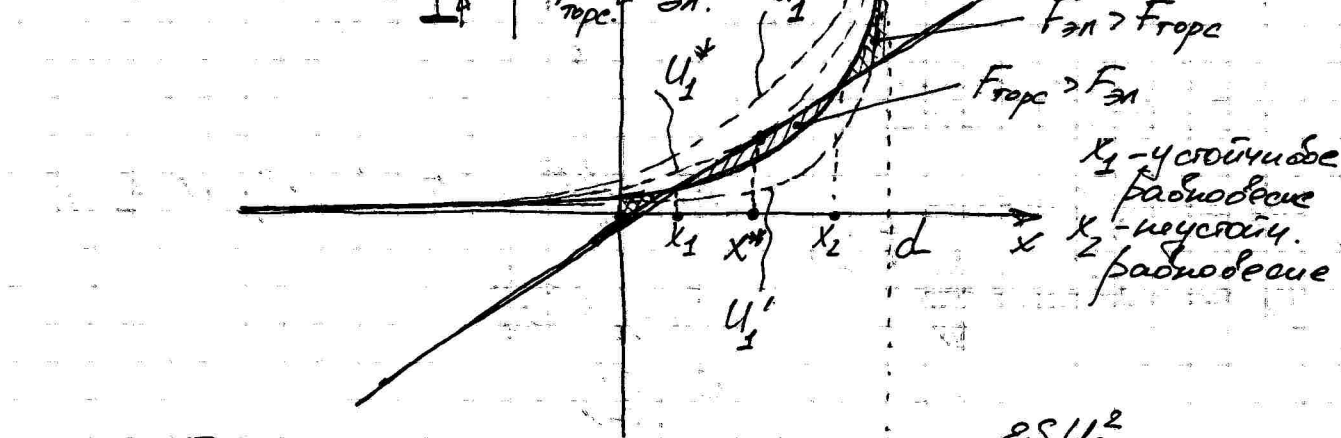
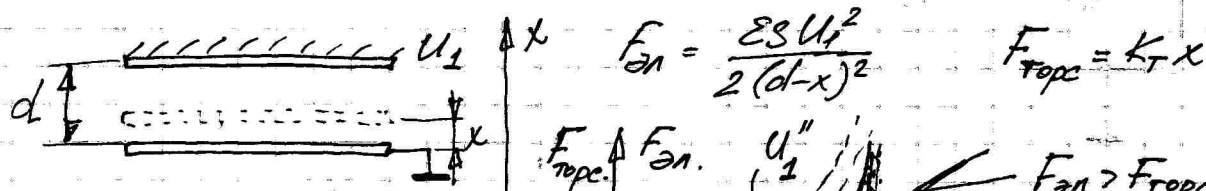
$$\text{Выход} - U = U' + U_0 \sin \omega t$$

$$F_{an} \approx U'^2 + 2U'U_0 \sin(\omega t) + U_0^2 \sin^2(\omega t)$$

Послед. соотр. не уходит все равно.

- F_{an} зависит от x .

- Чем ближе пластина, тем больше F_{an} .



$$\text{Если считать, что } x_1 \ll d, \text{ то } x_1 = \frac{ES U_1^2}{2d^2 K_T}$$

При гарм. возбуждении система устойчива в границе (x_1, x_2) , т.к. $F_{topc} > F_{an}$.

Лучше, чтобы $x_2 \rightarrow d$. подберем K_T . Но увеличивается ω_0 , что не нужно. Лучше сделать это суммой U_1 . При $U_1 \neq U_0$, при $U_1 \neq U_0$.

Система на граничне устойчивости при касании графиков:

$$\begin{cases} \frac{ES U_1^{*2}}{(d-x^*)^3} = K_T \\ \frac{ES U_1^{*2}}{2(d-x^*)^2} = K_T x^* \end{cases} \Rightarrow \frac{ES U_1^{*2}}{2(d-x^*)^2} = \frac{ES U_1^{*2} x^*}{(d-x^*)^3} \Rightarrow 2x^* = d - x^* \Rightarrow x^* = \frac{d}{3}$$

$$U_1^* = \sqrt{\frac{8K_T d^3}{27ES}}$$

Оптимально $x_1 \rightarrow 0$, $x_2 \rightarrow d$.

$$\begin{aligned} U &= U_1 + U_0 \sin \omega t \\ U_1 &= \frac{U}{\frac{1}{j\omega C_{ref}} + \frac{1}{j\omega C_{ret}}} \cdot \frac{1}{j\omega C_{ref}} \\ \Delta U = U - U_1 &= U - \frac{U}{C_{ref} + 1} = \end{aligned}$$

$$\Delta U = U \frac{C_{ref}}{C_{ref} + C} = U_0 \frac{1}{1 + \frac{C}{C_{ref}}}$$

$$F_{21} = \frac{ESU^2}{2(d-x)^2} \cdot \left(1 + \frac{C}{C_{ref}}\right)^2$$

$$\frac{C}{C_{ref}} = \frac{ES}{(d-x)C_{ref}}$$

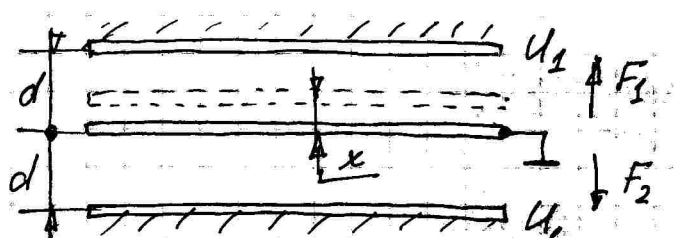
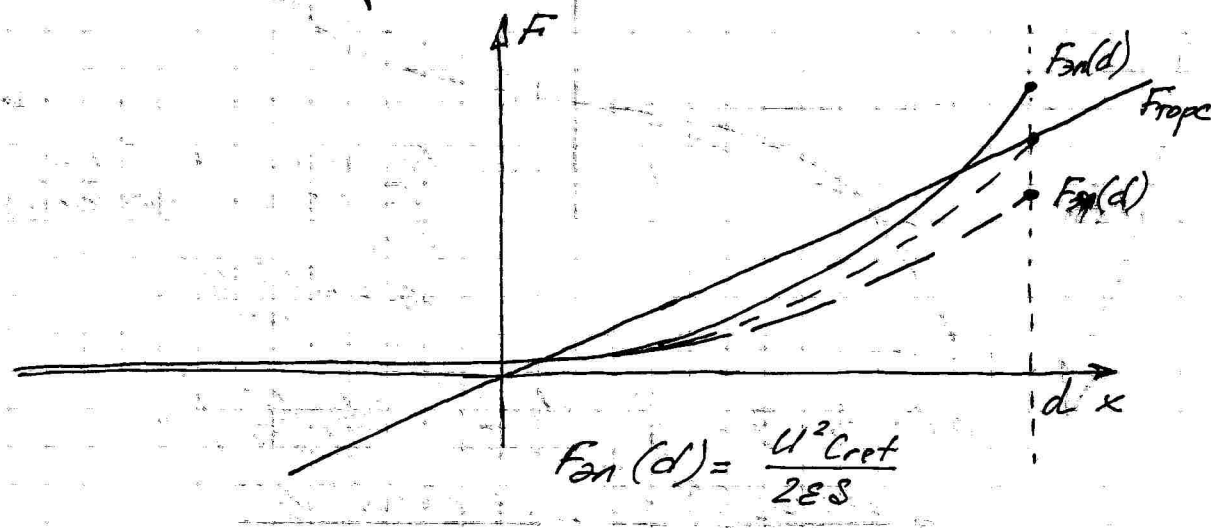
$$F_{31} = \frac{ESU^2}{2(d-x + \frac{ES}{C_{ref}})^2}$$

$$Ecru \frac{ES}{d} = Co, 70$$

$$\frac{ES}{C_{ref}} = d \frac{Co}{C_{ref}}$$

t.e. $x^* = \frac{2}{3}d \left(1 + \frac{Co}{C_{ref}}\right)$

$$U_1^* = \sqrt{\frac{8K_F d_3 \left(1 + \frac{Co}{C_{ref}}\right)^3}{27ES}}$$



х в начале конечном

$$F_1 = F_2 = \frac{ESU_1^2}{2d^2}$$

При x_1 !

$$\begin{cases} F_1 = \frac{ESU_1^2}{2(d-x)^2} \\ F_2 = \frac{ESU_2^2}{2(d+x)^2} \end{cases}$$

$$\Delta F = F_2 - F_1 = \frac{ESU_1^2}{2(d+x)^2} - \frac{ESU_2^2}{2(d-x)^2} =$$

$$= \frac{ESU_1^2}{2} \left(\frac{-4dx}{(d^2 - x^2)^2} \right) =$$

$$= -\frac{2ESU_1^2 dx}{(d^2 - x^2)^2}$$

IC - загас пружину с ограниченою упругостью.

$$\text{при } x \ll d, \text{ то } \Delta F = \frac{2ESU_1^2x}{d^3}$$

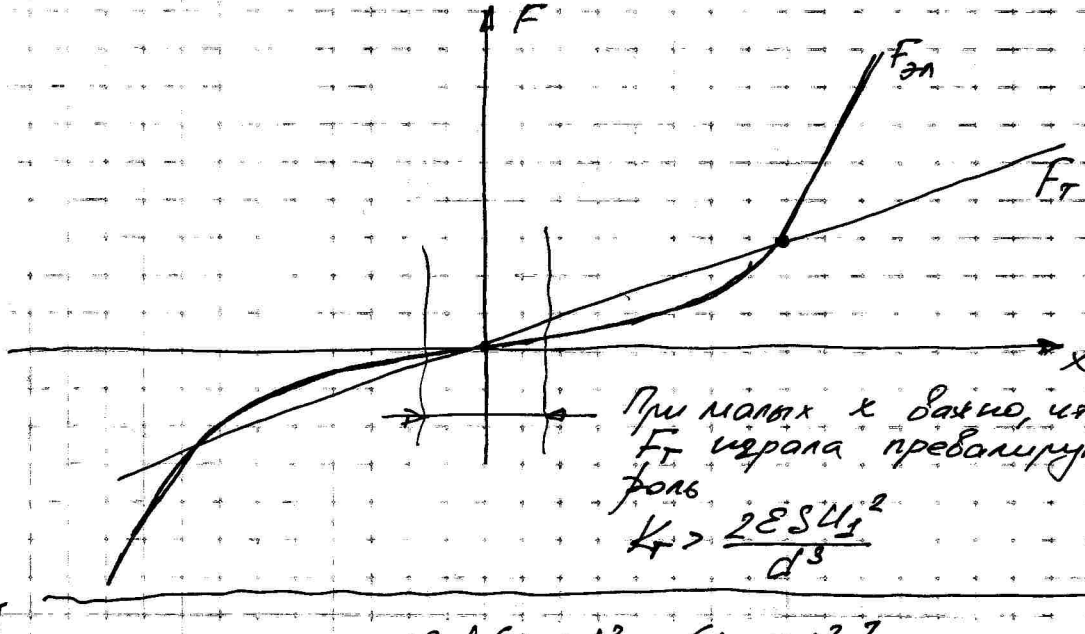
$$K_T = k_T - \frac{2ESU_1^2}{d^3}$$

Такой способ прии. для регулирования собственных частот неудобен.

Чтобы избавиться от квадр. зависимости от U_1 , на подвески обкладку подают U_0 .

$$F_1 = \frac{ES(U_0 - U_1)^2}{2(d-x)^2}$$

$$F_2 = \frac{ES(U_0 + U_1)^2}{2(d+x)^2}$$



При малых x вакансия F_T перва преодолевает F_1

$$k_T > \frac{2ESU_1^2}{d^3}$$

$$\Delta F = F_2 - F_1 = \frac{ES}{2} \left[\frac{(U_0 + U_1)^2}{(d+x)^2} - \frac{(U_0 - U_1)^2}{(d-x)^2} \right] =$$

$$= \frac{2ESU_0U_1(d^2+x^2)}{(d^2-x^2)^2} - \frac{2ESd^2x(U_0^2+U_1^2)}{(d^2-x^2)}$$

Из $x \ll d$:

$$\Delta F = \frac{2ESU_0U_1}{d^2} - \frac{2ES(U_0^2+U_1^2)x}{d^3}$$

Направлена в ту сторону, где на обкладку подано U_0 .

$$\frac{2ESU_0U_1}{d^2} + \frac{2ES(U_0^2+U_1^2)x}{d^3} = k_T x \Rightarrow x = \dots$$

В этом случае г. д. $k_T > \frac{2ES(U_0^2+U_1^2)}{d^3}$ при сохранении устойчивости при $x \ll d$.

① Одна из схем по положению:

$$U_1 = K_{oc} x$$

$$\Delta F = \frac{2E S U_0 K_{oc} x (d^2 + x^2)}{(d^2 - x^2)^2} - \frac{2E S d x (U_0^2 + K_{oc}^2 x^2)}{(d^2 - x^2)^2} =$$
$$= \frac{2E S U_0 K_{oc} d^2}{(d^2 - x^2)^2} x + \frac{2E S U_0 K_{oc}}{(d^2 - x^2)^2} x^3 - \frac{2E S d U_0^2}{(d^2 - x^2)^2} x - \frac{2E S d K_{oc}^2}{(d^2 - x^2)^2} x^3$$

Здесь однозначно можно сказать $x < d$,
так как OC не лежит на дуге.

$$\Delta F = \frac{2E S U_0 K_{oc}}{d^2} x + \frac{2E S U_0 K_{oc}}{d^4} x^3 - \frac{2E S U_0^2}{d^3} x - \frac{2E S K_{oc}^2}{d^3} x^3$$

Момент OC не меняется
затягивает
полезная сила s

изменение момента OC — Π
затягивает
сопротивление 1000 кг .

$$\Delta F = \frac{2E S U_0}{d^2} \left(K_{oc} - \frac{U_0}{d} \right) x + \frac{2E S K_{oc}}{d^3} \left(\frac{U_0}{d} - K_{oc} \right) x^3$$

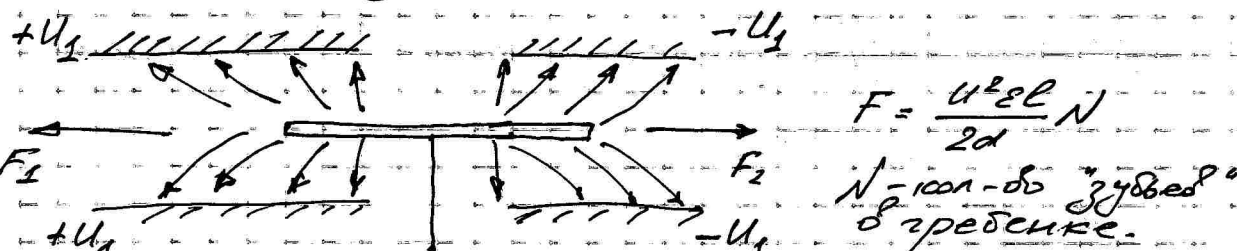
$$\Delta F = 0 : \begin{cases} 1) x = 0 \\ 2) K_{oc} = \frac{U_0}{d} \\ 3) x = \sqrt{\frac{U_0 d}{K_{oc}}} \end{cases}$$

1) в исходном состоянии $K_{oc} > \frac{U_0}{d}$ груз упирается в ось.

$K_{oc} < \frac{U_0}{d}$ груз падает вниз.

При этом U_0 меняется. Но K_{oc} не оказывает влияния на сопротивление 1000 кг .

1) случай: $g = 0$. 4) случай: $g \neq 0$.



$$\Delta F = F_2 - F_1 = \frac{(U_0 + U_2) \varepsilon E l N}{2d} - \frac{(U_0 - U_2) \varepsilon E l N}{2d} =$$
$$= \frac{2U_0 U_2 \varepsilon E l N}{d}$$

В случае ОС по поперечине $\Delta F = \frac{2E_0 E L K_{OCN}}{d} x$.

(2) Возбуждение колебаний с поперечиной ~~и~~ электростатикой. А.С.

$$U = U_m \sin(\omega t).$$

Для АС с попереч. 43 поперек загор.

$$\Delta F = \frac{2E_0 U_m E C N}{d} \sin(\omega t)$$

Для АС с попереч. 43 поперек загор.

$$\Delta F = \frac{2E_0 U_0 U_m (d^2 + x^2)}{(d^2 - x^2)^2} \sin(\omega t) - \frac{2E_0 d x U_0^2}{(d^2 - x^2)^2} - \frac{2E_0 d x U_m^2}{(d^2 - x^2)^2} \sin^2(\omega t)$$

$$\sin^2(\omega t) = \frac{1}{2} - \frac{1}{2} \cos(2\omega t)$$

$$x \ll d$$

$$\Delta F = \underbrace{\frac{2E_0 U_0 U_m}{d^2} \sin(\omega t)}_{\text{поперек загор.}} - \underbrace{\frac{E_0 (2U_0^2 + U_m^2)}{d^3} x}_{\text{чукрас cos.}} - \underbrace{\frac{E_0 U_m^2}{d^3} x \cos(2\omega t)}_{\text{багнис cos.}}$$

Поскольку мы создаем колебания в резонансе, то

$$x = x_m \cos(\omega t).$$

$$\Delta F = \frac{2E_0 U_0 U_m}{d^2} \sin(\omega t) - \frac{E_0 (2U_0^2 + U_m^2)}{d^3} x_m \cos(\omega t) - \frac{E_0 U_m^2 x_m \cos(\omega t) \cos(2\omega t)}{d^3}$$

2 cos-е на частоте 2ω , что несет в амплитуду в фазу колебаний.

$$\cos(\omega t) \cos(2\omega t) = \frac{1}{2} \cos(3\omega t) + \frac{1}{2} \cos(\omega t) = \frac{1}{2} \cos(3\omega t) + \frac{1}{2} \cos(\omega t)$$

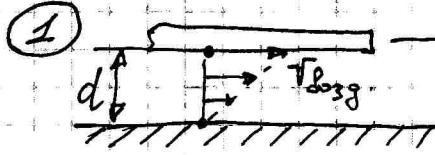
$$\Delta F = \frac{2E_0 U_0 U_m}{d^2} \sin(\omega t) - \frac{E_0}{d^3} x_m \left[2U_0^2 + \frac{3}{2} U_m^2 \right] \cos(\omega t) - \frac{E_0 U_m x_m \cos(3\omega t)}{2d^3}$$

(3) Скоростная ОС:

$$U_1 = K_{OC} x$$

Рассмотреть самообратную.

Влияние гидрофобации на SC.



$$\tau = \mu \frac{dV}{dx} = \mu \frac{V}{d}$$

$$F = \tau S$$

Быстро $\mu = 0.82 \cdot 10^{-9}$
агор $= 1.67 \cdot 10^{-9}$

Величина этого гидрофобания очень мала. Можно получить единую зернотость.

2) Движение плоским потоком.

будем считать, что
так несется и
течение ламинарное.

$$\Delta P = -\frac{12 \mu V}{d^3}$$

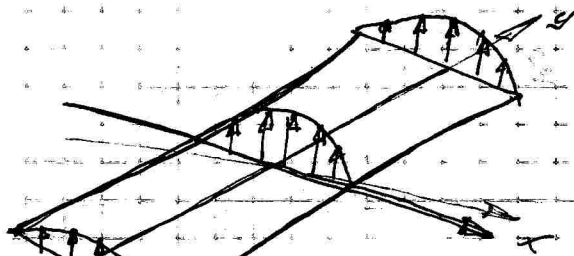
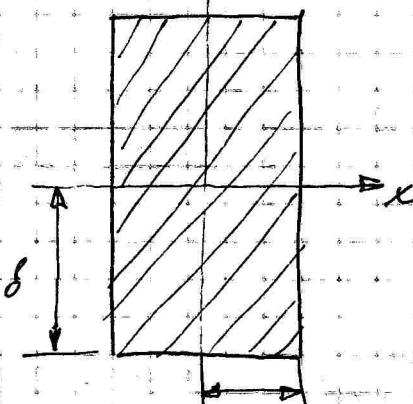
$$\Delta = \frac{\partial^2}{\partial x^2} + \frac{\partial^2}{\partial y^2} + \frac{\partial^2}{\partial z^2} - \text{плюсий}$$

$$F = \int P dS$$

$$D = F/V$$

Все зависит от формы ЧЭ.

1) Одномерная плоскость (плоскость бесконечной длины).



Давление зависит
только по x .
Давление равно P - Parm.
 $a < \delta$.

$$\frac{\partial^2 P}{\partial x^2} = -\frac{12 \mu V}{d^3}$$

$$P = -\frac{12 \mu V}{d^3} \frac{x^2}{2} + C_1 x + C_2$$

$$C_1 = 0$$

$$C_2 = \frac{6 \mu V a^2}{d^3}$$

$$P = \frac{6 \mu V}{d^3} [a^2 - x^2].$$

$$P(a) = P(-a) = 0.$$

$$\frac{\partial P}{\partial x}(0) = 0.$$

$$F = \int P dS = 4 \cdot \int_a^a P \delta dx =$$

$$= 4 \int_0^a \frac{6 \mu V}{d^3} [a^2 - x^2] \delta dx =$$

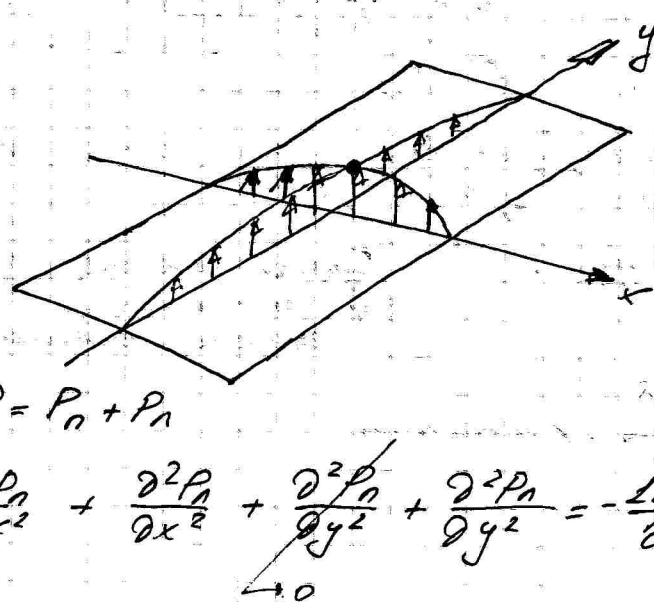
$$= 4 \frac{6 \mu V}{d^3} \left[a^2 x - \frac{x^3}{3} \right]_0^a = \frac{16 \mu V}{d^3} a^3 \delta.$$

$$D = \frac{F}{V} = \frac{16 \mu a^3 \delta}{d^3}$$

2 Двумерная задача.

Давление неизвестно и не ~~занесено~~ в уравн.

$a < \delta$. Рассмотрим P -Парм.



$$P = P_n + P_l$$

$$\frac{\partial^2 P_n}{\partial x^2} + \frac{\partial^2 P_n}{\partial x^2} + \frac{\partial^2 P_n}{\partial y^2} + \frac{\partial^2 P_n}{\partial y^2} = -\frac{12\mu V}{a^3}$$

$$\frac{\partial^2 P_n}{\partial x^2} = -\frac{12\mu V}{a^3}$$

$$\frac{\partial^2 P_n}{\partial x^2} + \frac{\partial^2 P_n}{\partial y^2} = 0$$

Для такого случая г.д. $P_n(x, -\delta) = -P_n(x, \delta)$
Чтобы выполнить $P(x, -\delta) = P(x, \delta) = 0$.

$$P_n = \frac{6\mu V}{a^3} (a^2 - x^2)$$

$$P_n = \frac{2}{a} \sum_{n=1}^{\infty} \left[\operatorname{ch} \frac{2n-1}{2a} \pi y \left(P_n \cos \frac{2n-1}{2a} \pi x dx \right) \frac{\cos \frac{2n-1}{2a} \pi x}{\operatorname{sh} \frac{2n-1}{2a} \pi \delta} \right].$$

$$D = \frac{4}{V} \int_0^a \int_0^{\delta} (P_n + P_l) dx dy.$$

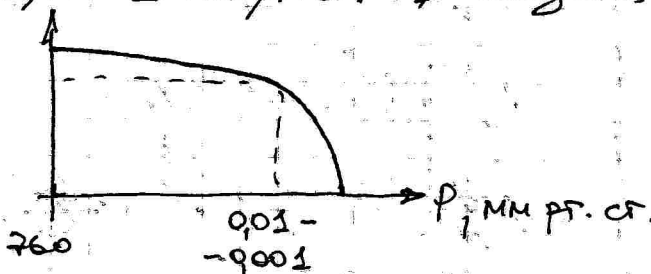
$$D = -\frac{1536\mu}{\pi^2 d^3} a^3 \sum_{n=1}^{\infty} \frac{1}{(2n-1)^4} \left[\operatorname{th} \frac{2n-1}{2a} \pi \delta - \delta \right].$$

Вполне можно ограничиться $n=1$.

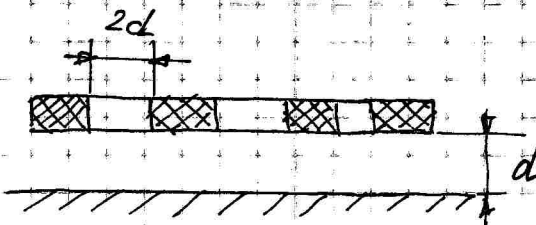
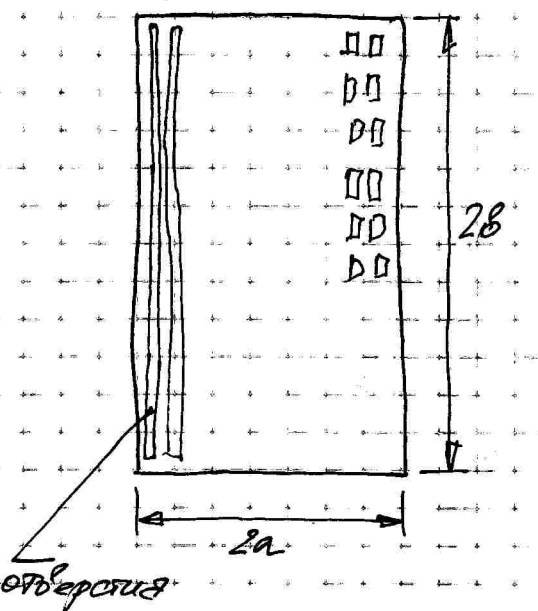
Способы сокращения вычислений:

1). Засечкирование.

При 1 мк рт. ст. D сократится в 1000 раз.

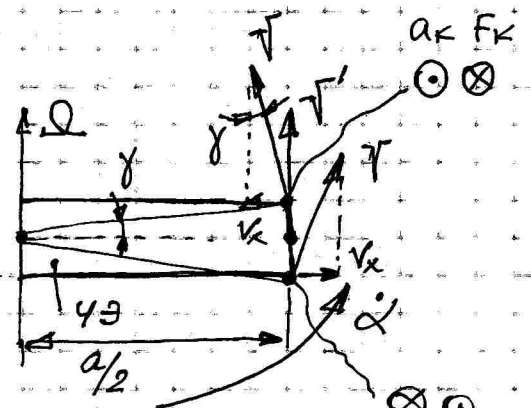
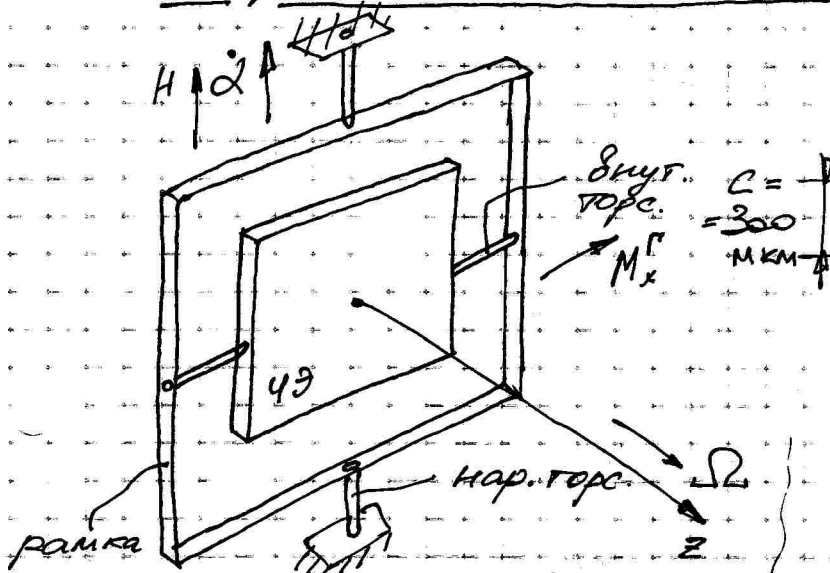


2) Уменьшение a



Зазор $2d$ симметричный
внешнего изгиба симметричной
одинаковой предельной формулы.

Схема R-R трубы.



$$V' = \frac{\alpha}{2} a$$

$$V_x = V \sin \gamma$$

$$\sin \gamma = \frac{c}{\sqrt{\frac{a^2}{4} + \frac{c^2}{4}}}$$

$$V = \frac{\alpha}{K} \sqrt{\frac{a^2}{4} + \frac{c^2}{4}}$$

$$V_x = \frac{\alpha c}{2}$$

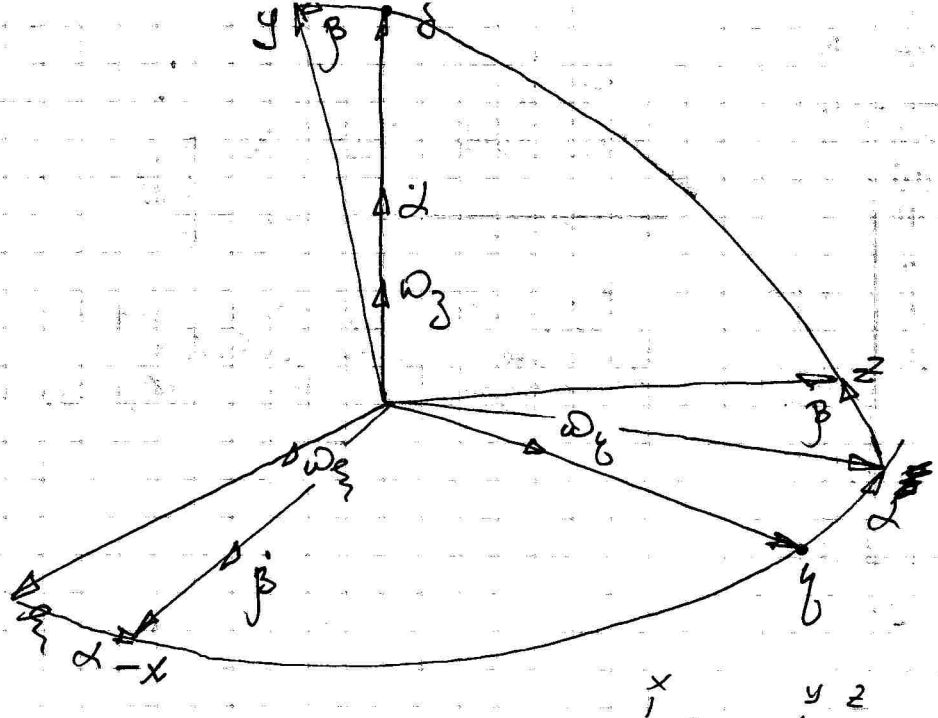
$$\alpha_k = 2 \Omega V_x = 2 \alpha c$$

$$\text{Условие } F_k = m \alpha c$$

$$M = m \alpha c^2$$

Гир. момент задается только
от c , т.е. цирюсом
очень низкой чувствительности.

$$\alpha = \alpha_0 \sin(\omega t)$$



$$\text{Недодат. } y\text{-e зонга: } A\ddot{\alpha} - (B-C)\Omega_y\Omega_z = M_x^B$$

$$\Omega_x = -\dot{\beta} - \omega_3 \cos \alpha \omega_y \sin \alpha$$

$$\Omega_y = (\dot{\alpha} + \omega_3) \cos \beta - \omega_3 \cos \alpha \sin \beta + \omega_3 \sin \alpha \cos \beta$$

$$\Omega_z = (\dot{\alpha} + \omega_3) \sin \beta + \omega_3 \cos \alpha \cos \beta - \omega_3 \sin \alpha \sin \beta$$

$$\ddot{\alpha} = -\ddot{\beta} - \omega_3 \cos \alpha + \omega_3 \dot{\alpha} \sin \alpha - \omega_3 \dot{\beta} \sin \alpha - \omega_y \dot{\alpha} \cos \alpha$$

4 рази насторх α та β :

$$\ddot{\Omega}_x = \ddot{\beta} - \omega_3^2 \alpha + \omega_3 \dot{\alpha} \dot{\beta} - \omega_y \dot{\alpha} - \omega_y \dot{\beta}$$

$$\ddot{\Omega}_y = \ddot{\alpha} + \omega_3 - \omega_3 \dot{\beta} + \omega_3 \dot{\alpha} \dot{\beta}$$

$$\ddot{\Omega}_z = (\ddot{\alpha} + \omega_3) \beta + \omega_3 \dot{\alpha} - \omega_3^2 \alpha$$

$$A(-\ddot{\beta} - \omega_3^2 \alpha + \omega_3 \dot{\alpha} \dot{\beta} - \omega_y \dot{\alpha}) - (B-C)/(\dot{\alpha} + \omega_3)^2 \beta - (\omega_y^2 - \omega_3^2 \alpha) \beta + \\ + (\dot{\alpha} + \omega_3)(\omega_y^2 - \omega_3^2 \alpha)] = M_x^B$$

$$M_x^B = M_x^{BM} + D_\beta \beta + K_\beta \dot{\beta}.$$

$$A\ddot{\beta} + D_\beta \dot{\beta} + [K_\beta + (B-C)\dot{\alpha}^2] \beta = - \underbrace{(A+B-C)(\omega_y^2 - \omega_3^2 \alpha)}_{\substack{\text{зональн.} \\ \text{важ.} \\ \text{у землі}}} \dot{\beta} - A(\omega_3^2 + \omega_y^2 \alpha)$$